

Difuze plynů v pevných látkách

plyn difunduje v pevné látce z oblasti s vyšší koncentrací do oblasti s nižší koncentrací
difuzní proud

$$I_1 = -D \text{grad } n_r = -D \frac{dn_r}{dx}$$

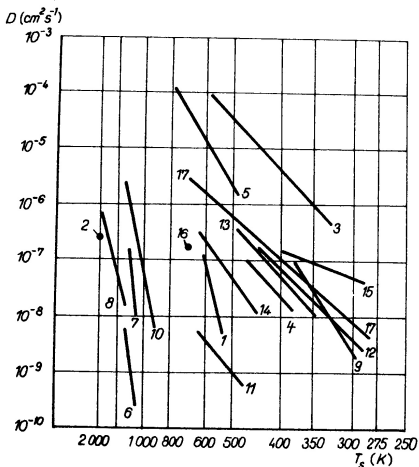
$$D = D_0 \exp \left(-\frac{H_{ad}}{RT_s} \right)$$

H_{ad} - aktivační teplo difuze, T_s - teplota pevné látky

He v taveném křemenu

T_s	300-500 K	600-1300 K
H_{ad} [kJmol $^{-1}$]	13.1	15.5
D_0 [cm 2 s $^{-1}$]	3.10 $^{-4}$	7.10 $^{-4}$

Plyn	sklo	obsah sklotvorných složek [%]	H_{ad} [kJmol $^{-1}$]
He	křemen	100	12.7-13.4
	vcyor	99	11.7-14.1
	pyrex	94	14.5-16.4
	duran	92	15
H ₂	křemen	100	21.1-28.1
	duran	92	32
N ₂	křemen	100	51.6 - 70.3
O ₂	křemen	100	70.3



Obr. 3.20. Závislost koeficientu difúze D na teplotě (podle údajů autorů uvedených v textu k obr. 3.19 a Daytona, 1960)

Plyny v kovech: 1 – $\text{H}_2 \rightarrow \text{W}$; 2 – $\text{H}_2 \rightarrow \text{Mo}$; 3 – $\text{H}_2 \rightarrow \text{Pd}$; 4 – $\text{H}_2 \rightarrow \text{Ni}$; 5 – $\text{H}_2 \rightarrow \text{Cu}$; 6 – $\text{O}_2 \rightarrow \text{Ni}$; 7 – $\text{H}_2 \rightarrow \text{Fe}$; 8 – $\text{O}_2 \rightarrow \text{Ti}$; 9 – $\text{H}_2 \rightarrow \text{Fe}$; 10 – $\text{O}_2 \rightarrow \text{Cu}$.
Plyny ve sklech: 11 – $\text{H}_2 \rightarrow \text{SiO}_2$; 12 – $\text{H}_2 \rightarrow$ sklo 12; 13 – $\text{H}_2 \rightarrow$ sklo 13; 14 – $\text{H}_2 \rightarrow$ sklo 14; 15 – $\text{H}_2 \rightarrow$ sklo 15; 16 – $\text{H}_2 \rightarrow$ sklo 16 (vycor); 17 – $\text{He} \rightarrow$ sklo 17 (pyrex 7740). Čísla skel a jejich složení je uvedeno v textu k obr. 3.19

Pronikání plynů stěnou

Proud plynu přes stěnu závisí na koef. difuze, koef. rozpustnosti a tlacích na obou stranách stěny.

$$I_1 = -D \text{grad } n_r = -D \frac{dn_r}{dx}$$

plocha 1 cm^2 , tloušťka L , tlaky $P_1, P_2; P_2 > P_1$

$$I_1 dx = -D dn_r$$

$$I_1 \int_0^L dx = I_1 L = -D \int_{n_{r2}}^{n_{r1}} dn_r = D(n_{r2} - n_{r1})$$

$$I_1 = Dr \frac{P_2^u - P_1^u}{L}$$

Koeficient pronikání plynu

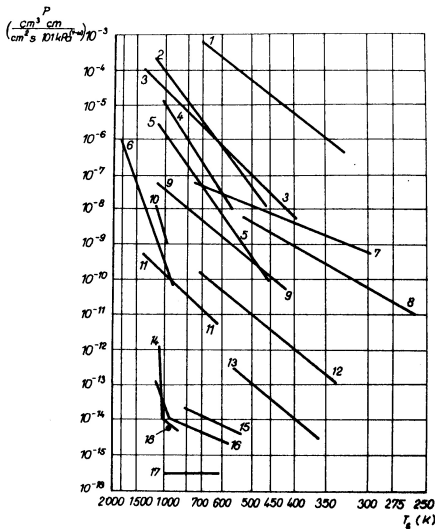
$$P_p = rD$$

$$P_p = P_{p0} \exp\left(-\frac{H_{apr}}{RT_s}\right); P_{p0} = r_0 D_0$$

H_{apr} - aktivační energie pronikání plynu

$$I_1 = Dr \frac{P_2^u - P_1^u}{L}$$

$$I_1 \doteq P_p P_2^u; \quad L = 1\text{cm}; P_2 \gg P_1$$



Obr. 3.21. Závislost koeficientu pronikání P na teplotě (podle Waldschmidta, 1954; Norton, 1957; Millera a Sheparda, 1961; Rogerse, Dushmana a Laffertyho, 1962).

Plyny v kovech $\left[u = \frac{1}{2}, P = \left(\frac{\text{cm}^3 (\text{norm}) \text{cm}}{101 \text{kPa}^{1/2} \text{cm}^2 \text{s}} \right) \right]$: 1 – $\text{H}_2 \rightarrow \text{Pd}$; 2 – $\text{H}_2 \rightarrow \text{Ni}$;

3 – $\text{H}_2 \rightarrow \text{Fe}$; 4 – $\text{H}_2 \rightarrow \text{kovar}$; 5 – $\text{H}_2 \rightarrow \text{Cu}$; 6 – $\text{N}_2 \rightarrow \text{Ni}$.

Plyny ve sklech a keramice $\left[u = 1, P = \left(\frac{\text{cm}^3 (\text{norm}) \text{cm}}{101 \text{kPa}^0 \text{cm}^2 \text{s}} \right) \right]$: 7 – $\text{He} \rightarrow \text{vykor}$; 8 – $\text{He} \rightarrow \text{pyrex } 7740$; 9 – $\text{H}_2 \rightarrow \text{SiO}_2$; 10 – $\text{N}_2 \rightarrow \text{SiO}_2$; 11 – $\text{He} \rightarrow \text{keramika}$; 12 – $\text{H}_2 \rightarrow \text{sklo } 1720$; 13 – $\text{He} \rightarrow \text{sklo G}$; 14 – $\text{vzduch} \rightarrow \text{pyrokeramika}$; 15 – $\text{vzduch} \rightarrow \text{pyrex}$; 16 – $\text{vzduch} \rightarrow \text{keramika}$; 17 – $\text{vzduch} \rightarrow \text{sklo } 1720$; 18 – $\text{O}_2, \text{N}_2 \rightarrow \text{pyrex}$

Koeficient pronikání P_p [$10^{-8} \frac{cm^3 cm}{cm^2 s 101kPa}$]

materiál	N_2	O_2	H_2	CO_2	He
přírodní kaučuk	6	18	38	100	20
methylkaučuk	0.4	2	13	6	11
butylkaučuk	0.25	1	6	4	5
neopren G	25	3	10	20	4
buna-S	5	13	30	95	18
teflon	0.002	0.007		0.05	
polymetakrylát	2		18		5

Uvolňování plynu a z povrchu a tok plynu na povrch u velmi tlusté stěny

$$I_{10} = -D \left(\frac{\partial n_r}{\partial x} \right)_{x=0}$$

druhý Fickův zákon

$$\frac{\partial n_r}{\partial \tau} = -\frac{\partial}{\partial x} \left(-D \frac{\partial n_r}{\partial x} \right)$$

$$I_{1\tau} = n_{r0} \sqrt{\frac{D}{\pi \tau}}$$

Množství plynu uvolněné z jednotky povrchu za dobu τ

$$Q_1 = \int_0^\tau I_{1\tau} d\tau = 2n_{r0} \sqrt{\frac{D\tau}{\pi}}$$

Proudění plynu ve stěnách konečné tloušťky

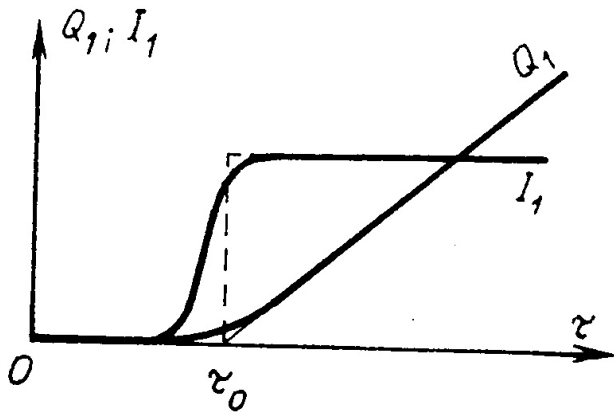
tloušťka stěny L , předem zcela zbavená plynů, $P_2 \gg P_1$

$$Q_1 = \int_0^\tau I_1 d\tau \approx \frac{n_{r2} D}{L} (\tau - \tau_0)$$

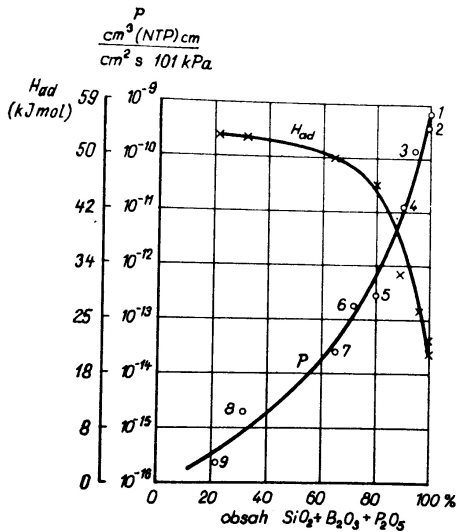
$$\tau_0 = \frac{L^2}{6D}$$

pro $\tau \gg \tau_0$

$$Q_1 = I_1 \tau = \frac{n_{r2} D}{L} \tau = \frac{Dr}{L} P_2^u \tau$$



Pronikání He sklem



Obr. 3.24. Závislost aktivační energie difuze H_{ad} a pronikání helia sklem s různým obsahem sklotvorných složek ($SiO_2 + B_2O_3 + P_2O_5$) při teplotě 373 K (podle Norton, 1953; Eschbacha, 1960 a dalších). Čísla u křivek odpovídají čísłům skel v tab. 3.16

Tab. 3.16. Složení skel, jejichž charakteristiky jsou uvedeny v obr. 3.24

Pořadové číslo v obr. 3.24	Název skla	Druh skla (Corning), blízký danému	Sklotvorné složky (%)				Σ	Al_2O_3	PbO	$\text{Na}_2\text{O} + \text{K}_2\text{O}$	$\text{CaO} + \text{MgO}$	BaO	ZnO
			SiO_2	B_2O_3	P_2O_5								
1	tavený křemen	C-7940	100	—	—	100	—	—	—	—	—	—	—
2	vycor	C-7910	96	3	—	99	1	—	—	—	—	—	—
3	pyrex	C-7710	81	13	—	94	2	—	4	—	—	—	—
4	borokřemičité	—	65	25	—	90	3	—	7	—	—	—	—
5	hlinitofosforové	—	—	5	77	82	11	—	—	—	—	—	7
6	sodnodraselné	C-0080	72	—	—	72	1	1	17	10	—	—	—
7	hlinitokřemičité	C-1720	62	5	—	67	18	—	—	15	—	—	—
8	olovnaté ¹⁾	C-8363	31	—	—	31	—	61	—	—	8	—	—
9	olovnaté bez křemíku s malým obsahem alkália	—	—	22	—	22	7	78	—	—	—	—	—

Objem $V = 1 \text{ l}$, povrch $A = 500 \text{ cm}^2$, tloušťka stěny $L = 1 \text{ mm}$, teplota $T = 293 \text{ K}$, vyčerpáme na tlak 10^{-10} Pa . Parciální tlak He ve vzduchu je $P_{He} = 0.5 \text{ Pa}$

$$I = I_1 A = P_p \frac{P_{He}}{L} A$$

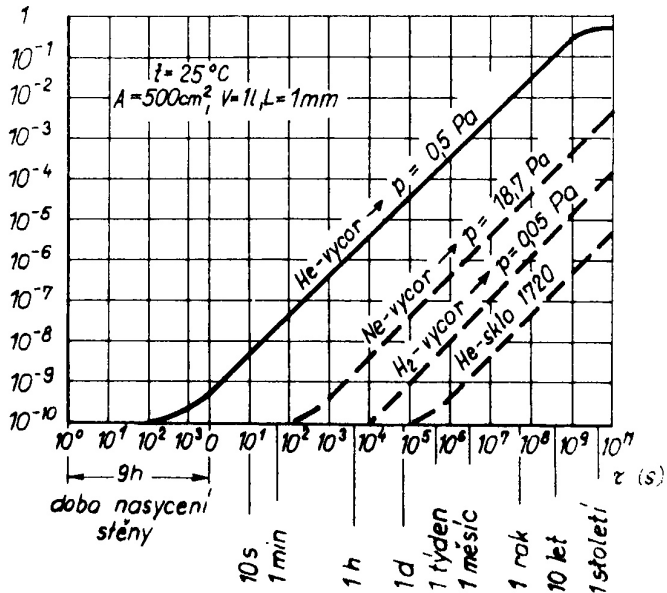
$$I = \frac{Q}{\tau} = \frac{PV}{\tau}$$

$$P = \frac{I}{V} \tau$$

$$P = 10^{-10} + 6 \cdot 10^{-10} \tau$$

$$\tau_0 = \frac{L^2}{6D} \doteq 9 \text{ h}$$

P (Pa)

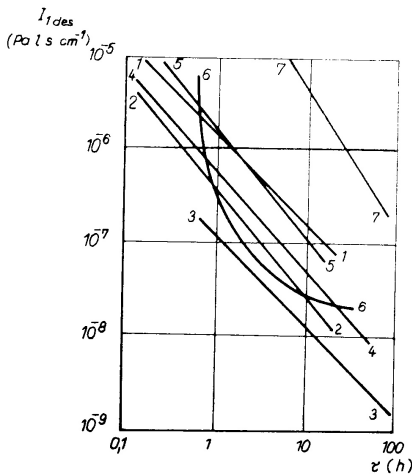


Desorpční proud z různých povrchů

Důležitá je teplotní a vakuová historie látek vakuové aparatury. Uvádí se I_{1des} a směrnice α_1 pro různé časy např. pro $\tau_1 = 1 \text{ h}$ a $\tau_4 = 4 \text{ h}$

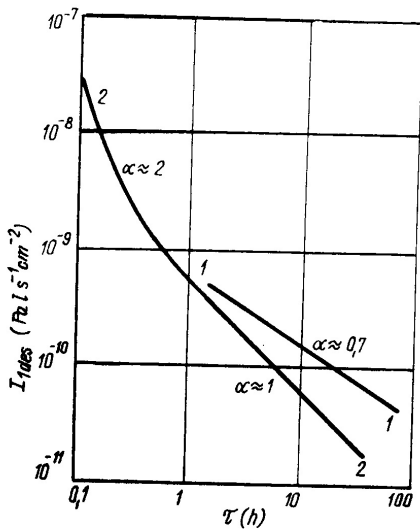
Tab. 3.18. Intenzita desorpcie $I_{1\text{ des}}$ (10^{-5} Pa s^{-1} cm^{-2}) za 1 h a za 4 h od počátku čerpání a koeficienty α_1 a α_4 některých látok při $T \approx 300$ K.
(Orientační hodnoty, podle Dayton a kol., 1959)

Látka	Doba od počátku čerpání			
	1 h		4 h	
	$I_{1\text{ des}(1)}$	α_1	$I_{1\text{ des}(4)}$	α_4
elastomery				
přírodní kaučuk – bílá a červená guma	12	0,5	6	0,5
butylkaučuk	20	0,7	6	0,6
neoprén	30 – 300	0,4 – 0,5	15 – 180	0,4 – 0,5
odplýněný neoprén	120	0,5	–	–
perbunan	5 – 90	0,65	2 – 40	0,6 – 1,1
plastické látky				
teflon	5	0,7	1,5	1
odplýněný teflon	0,1	2	–	–
araldit	5 – 80	0,3 – 1,3	1 – 20	0,5 – 1,3
epoxidová pryskyřice				
odplýněná	0,2	1,5	–	–
obsahující vodu	100	0,6	–	–
polyethylen	2,5	0,5	1,2	0,5
Polyuretan	5	0,5	2,5	0,5
polychlorvinyl				
odplýněný	0,1	3	–	–

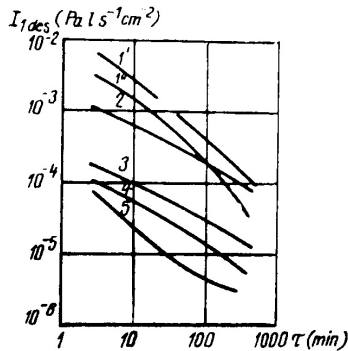


Obr. 3.26. Závislost intenzity desorpce $I_{1\text{ des}}$ na čase τ pro různé kovy při $T \approx 300\text{ K}$ (podle Schrama, 1963)

1 – chromniklová nerezavějící ocel Z3CN s neopracovaným povrchem; 2 – ocel Z3CN elektrolyticky vyleštěná; 3 – ocel, vyleštěná skleněnými kuličkami; 4 – měkká ocel poniklovaná a vyleštěná; 5 – vysoce čistá měď elektrolyticky vyleštěná; 6 – hliník; 7 – dural



Obr. 3.27. Závislost intenzity desorpce $I_{1\text{des}}$ na čase τ pro borokřemičité sklo M02A při $T_s = 300\text{ K}$ (podle Henryho, 1961):
 1 – po prvním ohřevu; 2 – po ohřevu trvajícím 5 h při teplotě 373 K a vystavení působení vzduchu po dobu 14 h



Obr. 3.28. Intenzita desorpce $I_{1\text{des}}$ z povrchu elastomerů při teplotě 298 K jako funkce času (podle Hellera, 1958)
 1 – syntetická guma (ploché těsnění 1', kruhové 1''); 2 – perbunan; 3 – araldit, polyuretan; 4 – teflon; 5 – hostaflon